

ISSN 1009-3079

CN 14-1260/R

# 世界华人消化杂志<sup>®</sup>

**WORLD CHINESE  
JOURNAL OF DIGESTOLOGY**

**Shijie Huaren Xiaohua Zazhi**

**2003 年 9 月 15 日 第 11 卷 第 9 期 (Volume 11 Number 9)**



**9/2003**

ISSN 1009-3079



9 771009 307001

名誉总编辑

潘伯荣

总编辑

马连生

World Journal of Gastroenterology<sup>®</sup> 被 SCI<sup>®</sup>-E, Research Alert<sup>®</sup>, Current Contents<sup>®</sup>/Clinical Medicine, Journal Citation Reports<sup>®</sup> Index Medicus, MEDLINE, Chemical Abstracts, EMBASE/Excerpta Medica 收录。2002 年 JCR<sup>®</sup> 报告 WJG 影响因子 2.532. 世界华人消化杂志<sup>®</sup> 被 Chemical Abstracts, EMBASE/Excerpta Medica 收录。2001 年中国科技期刊引证报告: 世界华人消化杂志<sup>®</sup> 影响因子 3.733, WJG 影响因子 2.920.

# 世界华人消化杂志

## Shijie Huaren Xiaohua Zazhi

### ● 目 次 ●

2003年9月15日 第11卷 第9期(总第113期)

述评	1269 胃肠道肿瘤的影像诊断和介入治疗 程英升, 尚克中 1273 胃食管反流病的内镜缝合治疗 杨云生, 令狐恩强
胃癌	1275 α-连接素表达与胃癌生物学行为的关系 徐采朴, 周永宁, 陈渝 1279 老年人胃癌前黏膜癌变的胃镜随访 王孟薇, 杨少波, 张子其, 祝庆平, 王刚石, 李晖, 姚晨, 吴本俨, 尤纬缔 1282 内皮抑素-血管内皮细胞抑制因子重组腺病毒对荷胃癌裸鼠的治疗 潘欣, 李陆, 张珉, 王泳, 潘卫, 戚中田 1286 PKC β1 和 PKC β2 在早期胃癌中的表达 冯瑞娥, 陈杰, 崔金才, 詹阳, 王振宇 1290 二烯丙基二硫对人胃癌 MGC803 细胞生长的影响 张良远, 凌晖, 苏琦, 宋颖, 梁晓秋 1294 胃黏膜癌变过程中 PTEN 基因编码产物的表达及意义 李异玲, 何向民, 郑华川, 吴东瑛, 杨雪飞, 辛彦, 傅宝玉 1297 进展期胃癌病理和预后影响因素的关系 黄海力, 吴本俨, 尤纬缔, 申明识 1302 雌激素诱导基因 PS2/TFF1 在胃癌及癌前病变中的表达 李俊美, 罗和生, 姚宏昌 1306 GSTM1, GSTT1 基因多态与胃腺癌及幽门螺杆菌感染的关联 张友才, 邓长生, 周燕, 朱尤庆 1310 基质金属蛋白酶-7 表达与胃癌临床病理生物学行为的关系 孙晋民, 郑华川, 杨雪飞, 辛彦, 张荫昌 1314 毒物代谢酶基因多态与胃癌的关联 叶梅, 刘君炎, 邓长生 1318 胃癌中医证型相关基因的表达谱 刘莺, 李俊军, 朱文锋, 刘平
肝癌	1322 MUC1 基因免疫抑制 H22 肝癌生长的实验研究 袁时芳, 王岭, 李开宗, 颜真, 韩革, 张英起 1326 纺锤体组装关卡基因 hsMAD2 在人肝细胞肝癌中的表达及其意义 李擒龙, 王文亮, 张晓晖, 晏伟 1329 GnRH 类似物诱导肝癌细胞凋亡的体外研究 刘庆元, 窦科峰, 张金山, 孙岚, 黄鲁豫, 张远强 1333 bFGF 对人肝癌细胞系 Bel-7402 的生长调控 于卉影, 孙利平, 孙黎光, 丁晓慧 1337 经肝动脉注射 5-FU 白芨微球治疗兔 VX <sub>2</sub> 移植性肝癌 李欣, 冯敢生, 郑传胜, 柳曦, 孔健 1341 KAI1 正反义基因对 MHCC97-H 肝癌细胞 KAI1 蛋白表达的影响 司遂海, 杨建民, 罗元辉, 房殿春, 周平 1345 中药复方胃肠安血清诱导肝癌 SMMC-7721 细胞分化 赵海磊, 刘成, 赵爱光 1349 肝癌患者乙型肝炎病毒 X 基因变异的研究 代志琰, 徐启桓, 李刚, 马会慧, 汤正好, 舒欣, 姚集鲁 1353 复方中药 99- 克星超声介入治疗肝癌裸鼠移植瘤凋亡与增生 林晚东, 林礼务, 何以救, 高上达, 杨发端, 薛恩生 1357 羟基磷灰石纳米粒子诱导人肝癌细胞凋亡模型的构建 刘志苏, 唐胜利, 艾中立, 孙权, 钱群, 何跃明, 朱忠超 1362 β-catenin 和 Cyclin D1 在肝癌肝内转移中的作用 苏小康, 赵先明, 李锦清, 崔学教, 谢晓华, 杨海燕, 徐发彬, 石明 1365 DC 负载凋亡肝癌细胞后的免疫应答 郭建巍, 秦力维, 蔡美英, 吕同德 1369 TRAIL 诱导肝癌细胞系 SMMC-7721 的凋亡作用 李小安, 房殿春, 司佩任, 张汝刚, 杨柳芹, 秦建平
大肠癌	1372 大肠肿瘤组织线粒体形态结构定量研究 吴正蓉, 申洪 1375 IL-4 增强 IL-2 活化的 A-NK 细胞对人直肠癌 CC95 的抗肿瘤作用 王志华, 申宝忠, 史历 1378 人源性大肠癌抗原基因的 SEREX 筛选 刘宇虎, 张振书, 钟东, 武金宝, 但汉雷, 赖卓胜, 王亚东, 张亚历, 肖冰 1382 直肠癌组织 CD44v6, DNA 含量的联合检测及临床意义 丁志杰, 单吉贤, 都妹妍 1385 胃泌素拮抗剂增加 CD 自杀基因对结直肠癌细胞的杀伤作用 王小军, 马庆久, 赖大年, 黎成金, 李金茂, 武永忠, 王青 1389 aFGF 和 genistein 对大肠癌细胞株 CCL229 PKC 及 ERK 活性的影响 尚海, 张颐, 单吉贤
基础研究	1392 牛磺酸对 CCl <sub>4</sub> 诱导的大鼠肝纤维化的保护作用及其机制的研究 梁健, 杨光业, 张锡流, 庞玉生, 袁海峰, 梁劲松, 黄仁彬, 韦新, 韦明 1396 胰腺移植物 ICAM-1 的表达及信号转导的因素 梁健, 王凤山, 刘永锋, 刘利民, 刘树荣, 崔宏, 郁春泉, 何三光

临床研究	1399 聚乙二醇4000治疗老年人功能性便秘85例 张长青,张国伟,张葵玲,付奕其
焦点论坛	1402 胃肠道肿瘤的影像诊断和介入治疗 程英升 1402 胃肠道肿瘤的X线诊断 尚克中,程英升,吴春根 1404 胃肠道肿瘤CT诊断 吴春根,程英升,尚克中 1406 胃肠道肿瘤MRI诊断 吴春根,程英升,尚克中 1408 胃肠道肿瘤超声诊断 胡兵,周进祝 1410 胃肠道肿瘤核素诊断 陆汉魁 1413 胃肠道肿瘤血管和非血管双介入治疗 程英升,尚克中
治疗指南	1416 肝细胞癌的诊断和治疗 陆嵘,房静远
文献综述	1420 DNA高甲基化与抑癌基因 刘仲敏,刘芝华,吴旻 1425 胃癌供血及其动脉介入化疗的研究进展 沈波,朱金水 1429 腹膜粘连的分子机制及药物防治 曾健,李晓辉 1433 肿瘤多药耐药和进展期大肠癌耐药细胞株建立研究进展 姚学清,林峰 1436 肽转运载体的分子特征 韩飞,施用晖,乐国伟,王立宽 1443 肝星状细胞与肝纤维化的研究进展 蒋业贵,李兆申 1447 环氧化酶-2与结直肠癌 姚红兵,吴爱国,朱卉娟 1451 幽门螺杆菌疫苗的研究进展 姜政,黄爱龙,陶小红,王丕龙 1457 脂肪酸结合蛋白研究进展 冯爱娟,陈东风 1460 肝移植后乙型肝炎病毒再感染相关因素的研究进展 王永刚,王宇明
读者来信	1352 陈祖林 1368 汤伟
消息	1301 欢迎订阅2004年度世界华人消化杂志 1332 欢迎订阅2004年度World Journal of Gastroenterology® 1424 世界华人消化杂志获得2001年度百种中国杰出学术期刊 1450 WJG搭建我国消化学基础和临床研究唯一国际交流的平台 1464 世界胃肠病学杂志英文版获得2003-2004年国家自然科学基金重点学术期刊专项基金资助
封面故事	巴松湖又名错宗湖,在藏文里又是绿色湖水的意思,位于西藏林芝地区工布江达县境内,该湖湖面海拔3464 m是川藏东部最大的淡水堰塞湖之一.湖水清澈见底,四周雪山倒映其中,湖周原始森林密布,群山环绕,景美如画.湖中央飘着一座秀丽的湖心小岛,湖心岛上有一座错宗寺,建于唐代末年.(马俐 马娜 摄影).

# 世界华人消化杂志

Shijie Huaren Xiaohua Zazhi

吴阶平 题写封面刊名  
 陈可冀 题写版权刊名  
 (月刊)  
 创刊 1993-01-15  
 改刊 1998-01-25  
 出版 2003-09-15  
 原刊名 新消化病学杂志  
 总顾问 陈可冀  
 黄象谦  
 黄志强  
 黎介寿  
 刘耕陶  
 裴法祖  
 汤钊猷  
 王宝恩  
 危北海  
 吴孟超  
 吴咸中

张金哲  
 张学庸  
 赵东海  
 周殿元  
 马连生  
 潘伯荣  
 王瑾晖  
 王先林  
 李少华  
 李天华

编辑 世界华人消化杂志编辑委员会  
 030001,山西省太原市双塔西街77号  
 E-mail:wcjd@wjgnet.com  
 出版 世界胃肠病学杂志社  
 100023,北京市2345信箱  
 E-mail: wcjd @ wjgnet.com  
<http://www.wjgnet.com>  
 电话 (010)85381892  
 传真 (010)85381893  
 印刷 北京科信印刷新厂  
 发行 国内 北京报刊发行局  
 国外 中国国际图书贸易总公司  
 (100044,北京399信箱)  
 订购 全国各地邮电局  
 邮购 世界胃肠病学杂志社发行部  
 (100023,北京市2345信箱)  
 电话:(010)85381892  
 传真:(010)85381893  
 2003年版权归世界胃肠病学杂志社所有

## 本刊已被国内外 检索系统收录

美国《化学文摘(CA)》  
 荷兰《医学文摘库/医学文摘(EM)》  
 俄罗斯《文摘杂志(PK)》  
 中国科技论文统计与分析  
 中国学术期刊文摘  
 中国中医药信息服务网  
 中国生物医学文献光盘数据库  
 《中文科技资料目录(医药卫生)》  
 中国生物医学期刊目次数据库  
 中国医学文摘外科学分册(英文版)  
 中国医学文摘内科学分册(英文版)

## 特别声明

本刊刊出的所有文章不代表世界胃肠病学杂志社和本刊编委会的观点,除非特别声明.本刊如有印装质量问题,请向本刊编辑部调换.

ISSN 1009-3079  
 CN 14-1260/R

邮发代号 82-262  
 国外代号 M 4481

国内定价  
 每期 24.00 元 全年 288.00 元

广告经营许可证  
 1401004000050

# bFGF 对人肝癌细胞系 Bel-7402 的生长调控

于卉影, 孙利平, 孙黎光, 丁晓慧

于卉影, 孙黎光, 中国医科大学生物化学教研室 辽宁省沈阳市 110001  
孙利平, 沈阳市第七人民医院内科 辽宁省沈阳市 110003  
丁晓慧, 日本三重大学医学部解剖学第二讲座博士  
于卉影, 女, 1972-07-26 生, 辽宁省沈阳市人, 汉族。1994年沈阳医学院医疗系毕业, 2000年中国医科大学硕士毕业, 现为中国医科大学细胞生物学博士研究生, 主要从事细胞信号转导与细胞周期调控的研究。工作单位在沈阳军区总医院医学实验科。  
国家自然科学基金资助课题, No. 39870384  
项目负责人: 孙黎光, 110001, 辽宁省沈阳市, 中国医科大学生物化学教研室。  
电话: 024-23256666-5297  
收稿日期: 2002-12-24 接受日期: 2003-01-08

## Effect of basic fibroblast growth factor on growth regulation in Bel-7402 cell line

Hui-Ying Yu, Li-Ping Sun, Li-Gung Sun, Xiao-Hui Ding

Hui-Ying Yu, Li-Gung Sun, Department of Biochemistry and Molecular Biology, College of Basic Medical Sciences, China Medical University, Shenyang 110001, Liaoning Province, China  
Li-Ping Sun, Department of Gastroenterology, Shenyang No.7 People's Hospital, Shenyang 110001, Liaoning Province, China  
Xiao-Hui Ding, Department of Anatomy, School of Medicine, Mie University, Japan  
Supported by the National Natural Science Foundation of China, No. 39870384  
Correspondence to: Li-Guang Sun, Department of Biochemistry and Molecular Biology, College of Basic Medical Sciences, China Medical University, Shenyang 110001, Liaoning Province, China.  
Received: 2002-12-24 Accepted: 2003-01-08

## Abstract

AIM: To investigate whether bFGF regulates p21<sup>WAF1</sup> expression of Bel-7402 cell line via PI3K/PKB pathway.

METHODS: <sup>32</sup>P incorporation assay. The expression of p21<sup>WAF1</sup> mRNA was assessed by RT-PCR. The expression of p21<sup>WAF1</sup> protein was detected by Western blot. Cell cycle analysis was performed on a FACScan.

RESULTS: Both membrane and cytosol activity of PKB in Bel-7402 cell which were treated with bFGF (25 μg/L) reached the peak at 10 min. p21<sup>WAF1</sup> mRNA level was upregulated and peaked at 1 h (5.5 fold induction). Correspondingly, p21<sup>WAF1</sup> expression was increased and peaked at 2 h (2.2 folds of reduction). Wortmannin efficiently inhibited the activity of PKB ( $P < 0.05$ ), but not the level of p21<sup>WAF1</sup> mRNA and the expression of p21<sup>WAF1</sup> protein. FCM analysis showed bFGF induced S-phase entry ( $0.14 \pm 0.01 \rightarrow 0.28 \pm 0.01, P < 0.01$ ), which was inhibited by wortmannin effectively ( $0.28 \pm 0.01 \rightarrow 0.22 \pm 0.01, P < 0.01$ ).

CONCLUSION: bFGF stimulates the proliferation of Bel-7402 cell line via PI3K/PKB pathway, and modulates p21<sup>WAF1</sup> expression through separating signaling pathways.

Yu HY, Sun LP, Sun LG, Ding XH. Effect of basic fibroblast growth factor on growth regulation in Bel-7402 cell line. Shijie Huaren Xiaohua Zazhi 2003;11(9):1333-1336

## 摘要

目的: 探讨bFGF是否通过PI3K/PKB途径调节p21<sup>WAF1</sup>的表达。

方法: <sup>32</sup>P掺入法检测PKB酶活性, RT-PCR、Western blot检测不同处理组Bel-7402细胞的p21<sup>WAF1</sup>表达, 流式细胞术分析细胞周期。

结果: 25 μg/L bFGF刺激细胞10 min, 就可使胞液和膜性PKB酶活性达高峰。p21<sup>WAF1</sup>mRNA表达水平在1 h达高峰, 比对照升高了5.5倍。p21<sup>WAF1</sup>蛋白表达在2 h达高峰, 比对照升高了2.2倍。wortmannin预处理后, PKB活性在各时间点均明显降低( $P < 0.05$ ), p21<sup>WAF1</sup> mRNA表达及p21<sup>WAF1</sup>蛋白表达无明显变化。流式细胞术分析显示, bFGF处理组与对照组相比G1期细胞减少( $0.65 \pm 0.01 \rightarrow 0.49 \pm 0.02, P < 0.01$ ), S期细胞增多( $0.14 \pm 0.01 \rightarrow 0.28 \pm 0.01, P < 0.01$ ), wortmannin能抑制此促增生作用(G1:  $0.58 \pm 0.01$ ; S:  $0.22 \pm 0.01, P < 0.01$ )。

结论: PI3K/PKB途径可介导bFGF对Bel-7402细胞的促增生作用, 但是bFGF对p21<sup>WAF1</sup>表达的调节作用不依赖PI3K/PKB途径。

于卉影, 孙利平, 孙黎光, 丁晓慧. bFGF 对人肝癌细胞系 Bel-7402 的生长调控. 世界华人消化杂志 2003;11(9):1333-1336  
<http://www.wjgnet.com/1009-3079/11/1333.asp>

## 0 引言

成纤维细胞生长因子(FGFs)和成纤维细胞生长因子受体的信号转导通路与肿瘤发生发展的关系极为密切, 是细胞信号转导研究的热点<sup>[1-20]</sup>。PI3K/PKB是近年来发现的一个新的生长因子信号转导途径。越来越多的证据表明, PKB与细胞代谢, 生长、凋亡、恶变等密切相关<sup>[21-29]</sup>。p21<sup>WAF1</sup>是目前已知的具有最广泛激酶抑制活性的细胞周期抑制蛋白<sup>[30-32]</sup>, 他通过依赖和非依赖P53途径, 对细胞内信号和细胞外信号均能作出反应, 参与细胞生长、发育、分化、衰老及DNA损伤修复等多种功能的调节<sup>[33-35]</sup>。我们采用外源性bFGF直接作用于Bel-7402肝癌细胞, 观察其对p21<sup>WAF1</sup>表达的影响, 探讨生长因子通过PKB途径调控细胞周期进程的信号转导机制。

## 1 材料和方法

1.1 材料 人肝癌细胞株Bel-7402购自中科院上海细胞所, DMEM培养基为GibcoBRL公司产品, 小牛

血清购自华美生物工程公司, TRIzol 为 Life-Technology 公司产品, 扶济复(重组人 bFGF)购自北京双鹭药业有限公司, 组蛋白 2B 为 Roche 公司产品, cAMP 蛋白激酶抑制剂为 Sigma 公司产品, [ $\gamma$ -<sup>32</sup>P] ATP 购于北京福瑞生物工程公司, 单克隆鼠抗人 p21<sup>WAF1</sup>、辣根过氧化物酶标记的二抗和 ECL 试剂盒购于北京中山生物技术公司, TaKaRa RNA PCR 试剂盒购自大连宝生物工程有限公司, 其余试剂均为国产分析纯试剂.

## 1.2 方法

1.2.1 <sup>32</sup>P 掺入法检测 PKB 酶活性 将对数生长期细胞  $1 \times 10^8/L$ , 接种于培养瓶, 待达到 70% 融合时换成无血清 DMEM 培养液孵育过夜, 使细胞同步化, 然后随机按下述时间点和浓度点分组施加因素. 分组如下: (1) 不同剂量组: 0, 25, 50, 75  $\mu\text{g}/\text{L}$ , 处理时间 10 min; (2) 不同时间组: 0, 5, 10, 60 min, 剂量为 25  $\mu\text{g}/\text{L}$ ; (3) wortmannin 预处理组: 处理时细胞同步化同前, 空白对照以等量二甲基亚砜替代 wortmannin, 加入 wortmannin 终浓度 100 nmol/L, 置于细胞培养箱中孵育 1 h, 然后按(2)的各时间点加 bFGF 处理. 处理期间细胞置于细胞培养箱中. 处理结束后, 收集细胞, 用冰 PBS 洗涤 3 次. 按照文献[36]方法进行 PKB 酶活性检测.

1.2.2 Western blot 分析 取各组细胞 40  $\mu\text{g}$  总蛋白上样于 150 g/L SDS-PAGE 电泳分离, 电转移至硝酸纤维素膜上, 加入一抗, 孵育 2 h, 洗膜, 加入羊抗鼠辣根过氧化物酶标二抗, 孵育 2 h, 按 ECL 免疫印迹检测试剂盒说明进行显色、曝光. 分组如下: (1) bFGF 组: 0, 30 min, 1 h, 2 h, 6 h, 剂量为 25  $\mu\text{g}/\text{L}$ ; (2) wortmannin+bFGF 组: 先加入 100 nmol/L wortmannin, 孵育 1 h, 然后按(1)的各时间点加 bFGF 处理.

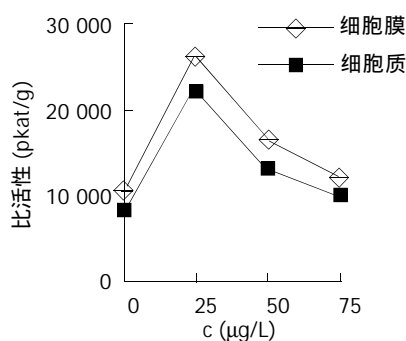
1.2.3 RT-PCR 检测 p21<sup>WAF1</sup>mRNA 表达 应用 premer Primer5 软件设计引物, 由大连宝生物工程有限公司合成, p21<sup>WAF1</sup>: 上游引物 5' -ACTTTGTCACCGAGACAC CA-3'; 下游引物 5' -CCTCAGCCTTCCAAGTAGC -5'.  $\beta$ -actin: 上游引物 5' -GATGACCCAGATCATGTTG-3'; 下游引物 5' -TGGAGTTGAAGGTAGTTTG-3'. 按 Trizol 试剂操作说明提取各处理组细胞的总 RNA. 紫外检测仪分别在 260 nm 和 280 nm 波长下检测 RNA 的吸光度 A 值, 测定 RNA 的纯度. cDNA 合成后, 建立 25  $\mu\text{L}$  反应体系, 95 °C 预变性 90 s, 循环 28 次, 循环条件为: 94 °C 变性 1 min, 58 °C 退火 1 min, 72 °C 延伸 1 min. 循环结束后 72 °C 延伸 10 min. PCR 产物用 15 g/L 琼脂糖凝胶电泳, 凝胶成像仪扫描摄影. 分组如下: (1) bFGF 组: 0, 30 min, 1 h, 2 h, 剂量为 25  $\mu\text{g}/\text{L}$ ; (2) wortmannin+bFGF 组: 先加入 100 nmol/L wortmannin, 孵育 1 h, 然后按(1)的各时间点加 bFGF 处理.

1.2.4 细胞周期分析 收集消化的贴壁细胞, 离心后重悬在含 100 mg/L RNA 酶和 10 g/L 碘化丙啶的 PBS 中, 用 FACScan 检测, 结果用 Cell-Quest 软件分析数据.

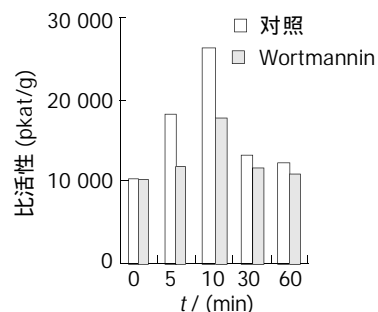
统计学处理 差异显著性采用 t 检验.

## 2 结果

2.1 bFGF 激活 PKB 活性 采用外源性 bFGF 刺激细胞, 检测 PKB 酶活性, 计算比活性值绘制浓度曲线(图 1A)和时间曲线(图 1B, C). 结果发现, 不同浓度的 bFGF 孵育 Bel-7402 细胞迅速激活 PKB, 且膜性 PKB 活性高于胞液 PKB 活性. 25  $\mu\text{g}/\text{L}$  bFGF 刺激细胞 10 min, 就可使胞液和膜性 PKB 酶活性达高峰.



A 浓度曲线.



B 胞膜 PKB 活性.

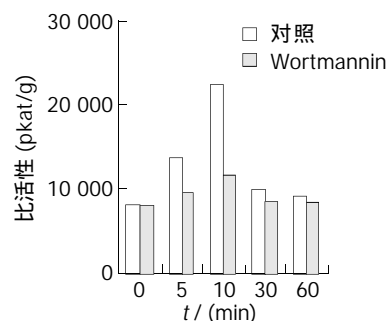
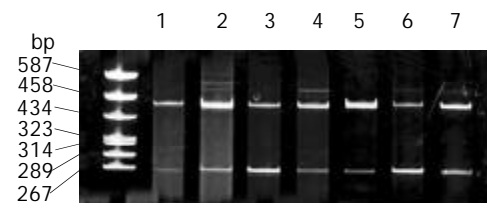


图 1 bFGF 对 Bel-7402 细胞 PKB 活性的影响.



1: 对照; 2, 3, 4: bFGF 分别孵育 0.5, 1, 2 h; 5, 6, 7: wortmannin 预处理 1 h 后 bFGF 分别孵育 0.5, 1, 2 h.

图 2 RT-PCR 分析 bFGF 对 p21<sup>WAF1</sup> 表达的影响.

2.2 bFGF 对 p21<sup>WAF1</sup> 转录和表达的影响 经 25  $\mu\text{g}/\text{L}$  bFGF 处理后, Bel-7402 细胞 p21<sup>WAF1</sup>mRNA 表达水平增高(见图 2), 在 1 h 达高峰, 与对照相比升高了 5.5 倍. Western

blot 分析显示, 经 25 μg/L bFGF 处理后, Bel - 7402 细胞的 p21<sup>WAF1</sup> 蛋白表达增加, 在 2 h 达高峰, 与对照相比升高了 2.2 倍 (图 3).

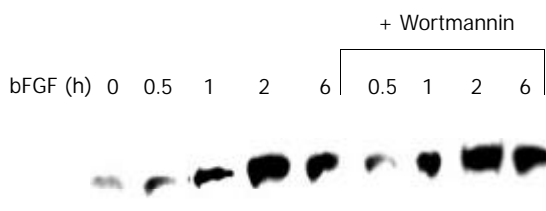


图 3 bFGF 对 p21<sup>WAF1</sup> 蛋白表达的影响.

**2.3 PI3K 抑制剂对 bFGF 作用的影响** 经 PI3K 抑制剂 wortmannin 预处理与未经预处理的各组相比, PKB 活性在各时间点均存在显著差异( $P < 0.05$ ), p21<sup>WAF1</sup> mRNA 表达及 p21<sup>WAF1</sup> 蛋白表达均无明显变化.

**2.4 bFGF 调节细胞周期** FCM 显示, 经 25 μg/L bFGF 孵育 16 h 后, 与对照组相比 G1 期细胞减少( $0.65 \pm 0.01 \rightarrow 0.49 \pm 0.02$ ,  $P < 0.01$ ), S 期细胞增多( $0.14 \pm 0.01 \rightarrow 0.28 \pm 0.01$ ,  $P < 0.01$ ), 但 wortmannin 能抑制此促增生作用(G1:  $0.58 \pm 0.01$ ; S:  $0.22 \pm 0.01$ ,  $P < 0.01$ ).

### 3 讨论

大量研究表明, FGFR/FGFRS 信号传递与肿瘤发生发展的关系极为密切, 多种肿瘤细胞表达水平极高的 FGFR1 和 aFGF/bFGF, 以过量表达 FGFR1 和 aFGF/bFGF 为特征的自分泌信号环路是肿瘤细胞恶性增生的首要条件. 研究肿瘤细胞信号传导机制, 选择性的阻断肿瘤细胞自分泌或旁分泌的信号传导通路, 破坏其自控性生长调节机制, 正在成为极具吸引力的研究热点<sup>[33]</sup>. p21<sup>WAF1</sup> 是最早发现并克隆的周期素依赖性激酶抑制剂, 对细胞内信号和细胞外信号均能作出反应, 参加细胞多种功能活动<sup>[30, 34]</sup>. p21<sup>WAF1</sup> 通过抑制 Cyclin-CDK 复合物活性, 充当协调细胞周期转换、检查点控制的内部定时机制, 而外部生长控制信号通过影响 p21<sup>WAF1</sup> 功能来控制细胞周期<sup>[31, 35]</sup>. bFGF 作用于 MCF - 7 细胞, 既能增加 p21<sup>WAF1</sup> 的转录和表达并使 cdk2 失活及 Rb 去磷酸化, 降低 cyclin A 的表达, 同时又上调 G1 期蛋白如 cyclin D<sub>1</sub>、cyclin E 和 cdk4 的表达, 此双重作用的结果是抑制 MCF - 7 细胞的增生. FGF 通过不依赖 MAPK 的途径活化 STAT1, 上调 p21<sup>WAF1</sup> 的 mRNA 水平和蛋白表达, 抑制 MCF - 7 细胞增生<sup>[18]</sup>. FGF-2 处理 NIH3T3 细胞后, 通过非依赖 MAPK 途径诱导 p21<sup>WAF1</sup> 蛋白表达, 但 FGF-2 对 p21<sup>WAF1</sup> mRNA 水平的上调作用部分依赖 MAPK 途径, 并且通过 MAPK 途径促进细胞进入 S 期<sup>[19]</sup>. 我们采用外源性 bFGF 处理 Bel - 7402 细胞, 结果表明 bFGF 能促进 p21<sup>WAF1</sup> mRNA 水平升高, 导致 p21<sup>WAF1</sup> 的表达增加. PI3K 抑制剂 wortmannin 预处理的细胞, 经 bFGF 刺激后, 在各时间点 p21<sup>WAF1</sup> mRNA 水平无明显改变, 同时 p21<sup>WAF1</sup> 表达水平也无明显变化, 表明 bFGF 对 Bel - 7402

p21<sup>WAF1</sup> 表达的影响是通过影响其转录活性实现的, 但是这种调节作用不依赖 PI3K/PKB 途径. FCM 检测细胞周期结果表明, bFGF 处理后细胞 G1 期比例下降, S 期比例增加, 这与 bFGF 促进细胞增生相符, 预先加入 PI3K 抑制剂 wortmannin 再用 bFGF 处理后, 这种促增生作用受到抑制( $P < 0.01$ ), 提示 bFGF 通过 PI3K/PKB 途径促进细胞周期进程, 使细胞从 G1 期 → S 期. 可见, bFGF 对 p21<sup>WAF1</sup> 表达的诱导作用和对细胞周期进程的促进作用是通过不同途径实现的. 已知 p21<sup>WAF1</sup> 是具有最广泛激酶抑制活性的细胞周期抑制蛋白, 可与几乎每一个 Cyclin-CDK 复合物结合. p21<sup>WAF1</sup> 抑制 Cyclin D-CDK4 和 Cyclin E-CDK2 的活性, 使 Rb 蛋白不能磷酸化, 从而使细胞周期停止在 G1 期. p21<sup>WAF1</sup> 通过与 Cyclin A-CDK2 结合间接抑制 DNA 合成<sup>[32-36]</sup>. 本结果表明 bFGF 既能上调 p21<sup>WAF1</sup> 的表达, 同时又促进细胞进入 S 期, 这似乎是矛盾的. 但是, 这两种作用是通过不同途径发生的. bFGF 能调节周期素和周期素依赖性激酶的表达<sup>[17]</sup>. 因此, 我们可以初步推测如果 bFGF 诱导过量 Cyclin/CDK 的复合物形成, 超过了 p21<sup>WAF1</sup> 的结合能力, 细胞将从 G1 期 → S 期.

### 4 参考文献

- Zimering MB, Thakker-Varia S. Increased fibroblast growth factor-like autoantibodies in serum from a subset of patients with cancer-associated hypercalcemia. *Life Sci* 2002; 71: 2939-2959
- Keyes K, Cox K, Treadway P, Mann L, Shih C, Faul MM, Teicher BA. An in vitro tumor model: analysis of angiogenic factor expression after chemotherapy. *Cancer Res* 2002; 62: 5597-5602
- Hu M, Nicolson GL, Trent JC 2nd, Yu D, Zhang L, Lang A, Killary A, Ellis LM, Bucana CD, Pollock RE. Characterization of 11 human sarcoma cell strains: evaluation of cytogenetics, tumorigenicity, metastasis, and production of angiogenic factors. *Cancer* 2002; 95: 1569-1576
- Joensuu H, Anttonen A, Eriksson M, Makitaro R, Alftan H, Kinnula V, Leppa S. Soluble syndecan-1 and serum basic fibroblast growth factor are new prognostic factors in lung cancer. *Cancer Res* 2002; 62: 5210-5217
- Coleman AB, Metz MZ, Donohue CA, Schwarz RE, Kane SE. Chemosensitization by fibroblast growth factor-2 is not dependent upon proliferation, S-phase accumulation, or p53 status. *Biochem Pharmacol* 2002; 64: 1111-1123
- Jeffers M, LaRochelle WI, Lichenstein HS. Fibroblast growth factors in cancer: therapeutic possibilities. *Expert Opin Ther Targets* 2002; 6: 469-482
- Adriaenssens E, Lemoine J, El Yazidi-Belkoura I, Hondermarck H. Growth signaling in breast cancer cells: outcomes and promises of proteomics. *Biochem Pharmacol* 2002; 64: 797-803
- Dini G, Funghini S, Witort E, Magnelli L, Fanti E, Rifkin DB, Del Rosso M. Overexpression of the 18 kDa and 22/24 kDa FGF-2 isoforms results in differential drug resistance and amplification potential. *J Cell Physiol* 2002; 193: 64-72
- Glenjen N, Mosevoll KA, Bruserud O. Serum levels of angiogenin, basic fibroblast growth factor and endostatin in patients receiving intensive chemotherapy for acute myelogenous leukemia. *Int J Cancer* 2002; 101: 86-94
- Song Z, Wu X, Powell WC, Cardiff RD, Cohen MB, Tin RT, Matusik RJ, Miller GJ, Roy-Burman P. Fibroblast growth factor 8 isoform B overexpression in prostate epithelium: a new mouse model for prostatic intraepithelial neoplasia. *Cancer Res* 2002; 62: 5096-5105

- 11 Papanikolaou IS, Lazaris AC, Kavantzas N, Davaris PS. Minimal expression of the proto-oncogene int-2 encoded protein in a series of colorectal carcinomas. *J Gastroenterol Hepatol* 2002; 17:1084-1086
- 12 Pavlakovic H, Havers W, Schweigerer L. Multiple angiogenesis stimulators in a single malignancy: implications for anti-angiogenic tumour therapy. *Angiogenesis* 2001;4:259-262
- 13 Berglund A, Molin D, Larsson A, Einarsson R, Glimelius B. Tumour markers as early predictors of response to chemotherapy in advanced colorectal carcinoma. *Ann Oncol* 2002; 13:1430-1437
- 14 Deniz ML, Kilic T, Almaata I, Kurtkaya O, Sav A, Pamir MN. Expression of growth factors and structural proteins in chordomas: basic fibroblast growth factor, transforming growth factor alpha, and fibronectin are correlated with recurrence. *Neurosurgery* 2002;51:753-760
- 15 Ngan ES, Ma ZQ, Chua SS, DeMayo FJ, Tsai SY. Inducible expression of FGF-3 in mouse mammary gland. *Proc Natl Acad Sci USA* 2002;99:11187-11192
- 16 Koh KR, Ohta K, Nakamae H, Hino M, Yamane T, Takubo T, Tatsumi N. Differential effects of fibroblast growth factor-4, epidermal growth factor and transforming growth factor-beta1 on functional development of stromal layers in acute myeloid leukemia. *Leuk Res* 2002;26:933-938
- 17 Wang HS, Mark R, Eyal F, Anthony D, John M, Joachim Y, Robert W. Basic fibroblast growth factor causes growth arrest in MCF-7 human breast cancer cells while inducing both mitogenic and inhibitory G1 events. *Cancer Res* 1997;57:1750-1757
- 18 Johnson MR, Valentine C, Basilico C, Mansukhani A. FGF signaling activates STAT1 and p21 and inhibits the estrogen response and proliferation of MCF-7 cells. *Oncogene* 1998; 16:2647-2656
- 19 Kivinen L, Laiho M. Ras-and mitogen-activated protein kinase kinase-dependent and -independent pathways in p21<sup>Cip1/Waf1</sup> induction by fibroblast growth factor-2, platelet-derived growth factor, and transforming growth factor-beta1. *Cell Growth Differ* 1999;10:621-628
- 20 Fu XB, Yang YH, Sun TZ, Gu XM, Jiang LX, Sun XQ, Sheng ZY. Effect of intestinal ischemia-reperfusion on expressions of endogenous basic fibroblast growth factor and transforming growth factor  $\beta$  in lung and its relation with lung repair. *World J Gastroenterol* 2000;6:353-355
- 21 Al-Sakkaf KA, Mooney LM, Dobson PR, Brown BL. Possible role for protein kinase B in the anti-apoptotic effect of prolactin in rat Nb2 lymphoma cells. *J Endocrinol* 2000;167:85-92
- 22 Demoulin JP, Grasso L, Atkins JM, Stevens M, Louahed J, Levitt RC, Nicolaides NC, Renaud JC. Role of insulin receptor substrate-2 in interleukin-9-dependent proliferation. *FEBS Lett* 2000;482:200-204
- 23 Murao K, Ohyama T, Imachi H, Ishida T, Cao WM, Namihira H, Sato M, Wong NC, Takahara J. TNF-alpha stimulation of MCP-1 expression is mediated by the Akt/PKB signal transduction pathway in vascular endothelial cells. *Biochem Biophys Res Commun* 2000;276:791-796
- 24 Hixon ML, Muro-Cacho C, Wagner MW, Obejero-Paz C, Millie E, Fujio Y, Kureishi Y, Hassold T, Walsh K, Gualberto A. Akt1/PKB upregulation leads to vascular smooth muscle cell hypertrophy and polyploidization. *J Clin Invest* 2000; 106:1011-1120
- 25 Iynedjian PB, Roth RA, Fleischmann M, Gjinovci A. Activation of protein kinase B/cAkt in hepatocytes is sufficient for the induction of expression of the gene encoding glucokinase. *Biochem J* 2000;351:621-627
- 26 Hideshima T, Nakamura N, Chauhan D, Anderson KC. Biologic sequelae of interleukin-6 induced PI3-K/Akt signaling in multiple myeloma. *Oncogene* 2001;20:5991-6000
- 27 Ng SS, Tsao MS, Nicklee T, Hedley DW. Wortmannin inhibits pkb/akt phosphorylation and promotes gemcitabine antitumor activity in orthotopic human pancreatic cancer xenografts in immunodeficient mice. *Clin Cancer Res* 2001;7:3269-3275
- 28 Cardona-Gomez GP, Mendez P, Garcia-Segura LM. Synergistic interaction of estradiol and insulin-like growth factor-I in the activation of PI3K/Akt signaling in the adult rat hypothalamus. *Brain Res Mol Brain Res* 2002;107:80-88
- 29 Lorenzini A, Tresini M, Mawal-Dewan M, Frisoni L, Zhang H, Allen RG, Sell C, Cristofalo VJ. Role of the Raf/MEK/ERK and the PI3K/Akt(PKB) pathways in fibroblast senescence. *Exp Gerontol* 2002;37:1149-1156
- 30 Boulaire J, Fotedar A, Fotedar R. The functions of the cdk-cyclin kinase inhibitor p21WAF1. *Pathol Biol* 2000;48:190-202
- 31 Fang JY, Lu YY. Effects of histone acetylation and DNA methylation on p21(WAF1) regulation. *World J Gastroenterol* 2002;8:400-405
- 32 Sun BH, Zhang J, Wang BJ, Zhao XP, Wang YK, Yu ZQ, Yang DL, Hao LJ. Analysis of in vivo patterns of caspase 3 gene expression in primary hepatocellular carcinoma and its relationship to p21(WAF1) expression and hepatic apoptosis. *World J Gastroenterol* 2000;6:356-360
- 33 Yin F, Yao SK, Wu XM, Gao HS, Li ZH. Serapharmacological study of Ganzheng oral solution on proliferation and expression of ERK in SMMC-7721 cells with transforming growth factor  $\alpha$ . *Shijie Huaren Xiaohua Zazhi* 2001;9:1017-1020
- 34 Hu PZ, Zhang CS, Ma FC, Yang SJ, Wang WL. Expressions of cyclin-dependent kinase inhibitor P21<sup>WAF1/CIP1</sup> and PCNA in human hepatocellular carcinoma. *Shijie Huaren Xiaohua Zazhi* 2002;10:145-148
- 35 Liu J, Chen SL, Zhang W, Su Q. P21<sup>WAF1</sup> gene expression with P53 mutation in esophageal carcinoma. *Shijie Huaren Xiaohua Zazhi* 2000;8:1350-1353
- 36 Liu SL, Liu GZ, Cheng J, Shi DY, Chen HL, Zhang YD. Influence of PKB on ROS regulation of proliferation in human 7721 hepatoma cells. *Acta Biochimica et Biophysica Sinica* 2002;34: 67-72



Published by **Baishideng Publishing Group Inc**  
7901 Stoneridge Drive, Suite 501, Pleasanton,  
CA 94588, USA  
Fax: +1-925-223-8242  
Telephone: +1-925-223-8243  
E-mail: [bpgoffice@wjgnet.com](mailto:bpgoffice@wjgnet.com)  
<http://www.wjgnet.com>



ISSN 1009-3079

A standard linear barcode representing the ISSN number.

09>  
9 771009 307056